

量子誤り訂正符号と量子秘密分散

小川朋宏

電気通信大学 大学院情報システム学研究科

2010年11月6日

第13回情報論的学習理論ワークショップ (IBIS 2010)

目次

- (1) 量子力学系の枠組み：状態と測定，密度行列，合成系とテンソル積
- (2) 量子通信路
- (3) 量子誤り訂正
- (4) CSS (Calderbank-Shor-Steane) 符号
- (5) 量子秘密分散法 (時間があれば)

タイプミス修正 + 補足をしました

(1) 量子力学系の枠組み

量子力学系の公理について

量子力学系の特徴

- **確率法則**
測定結果は系の状態と測定に依存して確率的にのみ定まる
- **系の状態変化**
測定結果に依存して状態が変化 測定順序によって結果が異なる

↓ スカラーでは記述しきれない

Hilbert 空間上の作用素 (行列) により記述される

- Hilbert 空間：内積を持つ (複素) ベクトル空間
- 有限次元の場合： $\mathcal{H} \simeq \mathbb{C}^d$
- 内積 $\langle \varphi | \psi \rangle$ ($\varphi, \psi \in \mathcal{H}$) を持つ

- 角括弧 $\langle \rangle$ は英語で bracket . 慣れると便利な記法 .
- \mathcal{H} の元をケットで表す (縦ベクトル) ブラ (共役転置 : 横ベクトル)

$$|\psi\rangle = \begin{pmatrix} \psi_1 \\ \vdots \\ \psi_d \end{pmatrix} \xrightarrow{\text{双対ベクトル空間}} \langle\psi| = (\psi_1^* \quad \cdots \quad \psi_d^*)$$

- 内積 :

$$\langle\varphi|\psi\rangle = (\varphi_1^* \quad \cdots \quad \varphi_d^*) \begin{pmatrix} \psi_1 \\ \vdots \\ \psi_d \end{pmatrix} = \sum_{i=1}^d \varphi_i^* \psi_i$$

- ケット \times ブラは行列 :

$$|\psi\rangle\langle\varphi| = \begin{pmatrix} \psi_1 \\ \vdots \\ \psi_d \end{pmatrix} (\varphi_1^* \quad \cdots \quad \varphi_d^*) = \begin{pmatrix} \psi_1\varphi_1^* & \cdots & \psi_1\varphi_d^* \\ \vdots & & \vdots \\ \psi_d\varphi_1^* & \cdots & \psi_d\varphi_d^* \end{pmatrix}$$

量子状態と測定

- 量子状態 = 長さ (ノルム) が 1 のベクトルで表現 (ベクトル状態)

量子状態 : $|\psi\rangle \in \mathcal{H}$ (規格化条件 : $\|\psi\| = \sqrt{\langle\psi|\psi\rangle} = 1$)

- m 個の測定結果を持つ測定の表現 (m -valued measurement)

測定 : $E = \{E_1, \dots, E_m\}$

E_i ($i = 1, \dots, m$) は \mathcal{H} 上の正方行列で以下を満たすもの

$$E_i^* = E_i, \quad E_i E_j = \delta_{i,j} E_i, \quad \sum_{i=1}^m E_i = I$$

- 互いに直交する部分空間への射影子の集合, 単位の分解
- 射影測定 (Projection Valued Measure, PVM) という
- 後で一般化測定を導入

測定と状態の重ね合わせ

- 測定 \Rightarrow 直交する単位ベクトルの“量子力学的重ね合わせ”を指定

$$|\psi\rangle = \sum_{i=1}^m E_i |\psi\rangle = \sum_{i=1}^m \alpha_i |e_i\rangle$$

ただし

$$|e_i\rangle := \frac{E_i |\psi\rangle}{\|E_i |\psi\rangle\|} = \frac{E_i |\psi\rangle}{\sqrt{\langle\psi| E_i |\psi\rangle}} \quad (\text{互いに直交, ノルム 1})$$

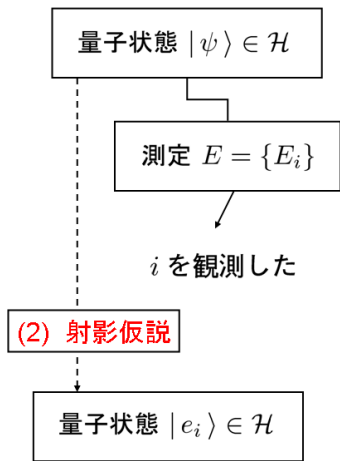
$$\therefore \|E_i |\psi\rangle\|^2 = \langle\psi| E_i^* E_i |\psi\rangle = \langle\psi| E_i |\psi\rangle$$

$$\alpha_i := \langle e_i | \psi \rangle = \frac{\langle\psi| E_i |\psi\rangle}{\sqrt{\langle\psi| E_i |\psi\rangle}} = \sqrt{\langle\psi| E_i |\psi\rangle} \quad (\text{振幅})$$

- 振幅の二乗 $|\alpha_i|^2$ は確率分布

$$|\alpha_i|^2 = \langle\psi| E_i |\psi\rangle, \quad \sum_{i=1}^m |\alpha_i|^2 = \langle\psi| \sum_{i=1}^m E_i |\psi\rangle = 1$$

量子力学の公理



$$|\psi\rangle = \sum_{i=1}^m E_i |\psi\rangle = \sum_{i=1}^m \alpha_i |e_i\rangle$$

(1) 確率法則

測定値 i を観測する確率

$$|\alpha_i|^2 = \langle \psi | E_i | \psi \rangle$$

(3) 孤立系の量子状態の変化はユニタリ変換 $|\psi\rangle \rightarrow U |\psi\rangle$ で与えられる

密度行列 (密度作用素, density operator)

- 密度行列：古典的確率も含んだ量子状態を記述
- 記法： $\mathcal{L}(\mathcal{H}) := \{X \mid X : \mathcal{H} \rightarrow \mathcal{H} \text{ (線形作用素)}\}$
- $\mathcal{H} = \mathbb{C}^n$ のとき， $\mathcal{L}(\mathcal{H})$ は $n \times n$ 正方行列全体とみなせる
- $\rho \in \mathcal{L}(\mathcal{H})$ で以下を満たすものを密度行列という

$$\rho = \rho^*, \quad \rho \geq 0, \quad \text{Tr } \rho = 1 \quad (\text{エルミート, 半正定値, トレース 1})$$

- 純粋状態 (= ベクトル状態)

$$\text{rank } \rho = 1 \iff \rho = |\psi\rangle\langle\psi| \text{ の形に書ける}$$

- 記法： $\mathcal{S}(\mathcal{H})$ を密度行列全体とする

密度行列の記述例

- 確率 q_j で量子状態 $|\psi_j\rangle$ の粒子が発生する装置を考える
- 粒子に対して測定 $E = \{E_i\}$ を行う

$$\{q_j, |\psi_j\rangle\} \Rightarrow \longrightarrow |\psi_j\rangle \curvearrowright \text{測定 } E = \{E_i\} \rightarrow \text{測定値 } i$$

- 状態 $|\psi_j\rangle$ の場合，測定値 i を得る確率は

$$p(i|j) = \langle \psi_j | E_i | \psi_j \rangle = \text{Tr} |\psi_j\rangle \langle \psi_j | E_i$$

- よって測定値 i を得る確率は

$$p(i) = \sum_j q_j p(i|j) = \text{Tr} \left(\sum_j q_j |\psi_j\rangle \langle \psi_j | \right) E_i = \text{Tr} \rho E_i$$

ただし， $\rho := \sum_j q_j |\psi_j\rangle \langle \psi_j |$ とおいた (“古典確率的重ね合わせ”)

- 密度行列 ρ はあらゆる測定について，系の確率を規定している

密度行列とベクトル状態についての注意

- 一般に異なるアンサンブル $\{p_j, |\varphi_j\rangle\}$, $\{q_j, |\psi_j\rangle\}$ が同じ密度行列 ρ を与えることがある

$$\rho = \sum_j p_j |\varphi_j\rangle\langle\varphi_j| = \sum_j q_j |\psi_j\rangle\langle\psi_j|$$

- 例: $\mathcal{H} = \mathbb{C}^2$, 以下の二つは同じ密度行列 $\rho = \frac{1}{2}I$ を与える

$$(p_1, p_2) = (1/2, 1/2), \quad |\varphi_1\rangle = \begin{pmatrix} 1 \\ 0 \end{pmatrix}, \quad |\varphi_2\rangle = \begin{pmatrix} 0 \\ 1 \end{pmatrix}$$

$$(q_1, q_2) = (1/2, 1/2), \quad |\psi_1\rangle = \frac{1}{\sqrt{2}} \begin{pmatrix} 1 \\ 1 \end{pmatrix}, \quad |\psi_2\rangle = \frac{1}{\sqrt{2}} \begin{pmatrix} 1 \\ -1 \end{pmatrix}$$

- この粒子の測定だけから, どちらのアンサンブルかを区別することはできない アンサンブル $\{p_j, |\varphi_j\rangle\}$ と書く物理的根拠はない
- 一方, 密度行列は粒子の測定結果についての確率を一意に指定する

密度行列を用いた量子力学系の公理

\mathcal{H} : Hilbert 空間

状態: 密度作用素 (確率分布に対応)

$$\rho \in \mathcal{S}(\mathcal{H}) \stackrel{\text{def}}{=} \{ \rho \in \mathcal{L}(\mathcal{H}) \mid \rho = \rho^* \geq 0, \text{Tr}[\rho] = 1 \}$$

測定: POVM (Positive Operator Valued Measure) on \mathcal{H}

$$\pi = \{ \pi_1, \pi_2, \dots, \pi_m \}$$

$$\pi_i \in \mathcal{L}(\mathcal{H}), \quad \pi_i = \pi_i^* \geq 0, \quad \sum_{i=1}^m \pi_i = I$$

測定値 $1, 2, \dots, i, \dots, m$

観測結果 i を得る確率

$$p_i = \text{Tr}[\rho \pi_i]$$

- 一般化測定 (POVM) : 補助系を利用することで射影測定 (PVM) から構成できる (Naimark 拡張)

合成系の状態と測定 (後でまた出します)

n 個の系 $\mathcal{H}_1, \mathcal{H}_2, \dots, \mathcal{H}_n$ の合成系

$\bigotimes_{k=1}^n \mathcal{H}_k$: テンソル積空間

状態: $\rho_n \in \mathcal{S}(\bigotimes_{k=1}^n \mathcal{H}_k)$

測定: POVM on $\bigotimes_{k=1}^n \mathcal{H}_k$

$$\pi = \{\pi_1, \pi_2, \dots, \pi_m\}$$

$$\pi_i \in \mathcal{L}(\bigotimes_{k=1}^n \mathcal{H}_k), \quad \pi_i = \pi_i^* \geq 0, \quad \sum_{i=1}^m \pi_i = I$$

合成系：ベクトルのテンソル積

- 物理系 $\mathcal{H}_A, \mathcal{H}_B$ の合成系はテンソル積空間 $\mathcal{H}_A \otimes \mathcal{H}_B$ で表される
- ベクトルのテンソル積演算 (= クロネッカー積)

$$|\psi_A\rangle = \begin{pmatrix} a_1 \\ \vdots \\ a_m \end{pmatrix}, \quad |\psi_B\rangle = \begin{pmatrix} b_1 \\ \vdots \\ b_n \end{pmatrix} \text{ に対して}$$

$$|\psi_A\rangle \otimes |\psi_B\rangle := \begin{pmatrix} a_1 \begin{pmatrix} b_1 \\ \vdots \\ b_n \end{pmatrix} \\ \vdots \\ a_m \begin{pmatrix} b_1 \\ \vdots \\ b_n \end{pmatrix} \end{pmatrix} \quad (m \times n \text{ 次元ベクトル})$$

合成系：テンソル積空間

- テンソル積演算の性質：双線形性

$$\begin{aligned}(\alpha |\psi_A\rangle + \beta |\varphi_A\rangle) \otimes |\psi_B\rangle &= \alpha |\psi_A\rangle \otimes |\psi_B\rangle + \beta |\varphi_A\rangle \otimes |\psi_B\rangle \\ |\psi_A\rangle \otimes (\alpha |\psi_B\rangle + \beta |\varphi_B\rangle) &= \alpha |\psi_A\rangle \otimes |\psi_B\rangle + \beta |\psi_A\rangle \otimes |\varphi_B\rangle\end{aligned}$$

- 内積

$$\langle \psi_A \otimes \psi_B | \varphi_A \otimes \varphi_B \rangle = \langle \psi_A | \varphi_A \rangle \langle \psi_B | \varphi_B \rangle$$

- テンソル積空間の定義：基底のテンソル積で張られるベクトル空間

$$\mathcal{H}_A \otimes \mathcal{H}_B := \left\{ \sum_{i,j} c_{ij} |e_i\rangle \otimes |f_j\rangle \mid c_{ij} \in \mathbb{C}, |e_i\rangle : \mathcal{H}_A \text{の基底}, |f_j\rangle : \mathcal{H}_B \text{の基底} \right\}$$

行列 (作用素) のテンソル積

- $X \in \mathcal{L}(\mathcal{H}_A)$, $Y \in \mathcal{L}(\mathcal{H}_B)$ に対して

$$(X \otimes Y)(|\psi_A\rangle \otimes |\psi_B\rangle) = (X|\psi_A\rangle) \otimes (Y|\psi_B\rangle)$$

を線形に拡大して $X \otimes Y \in \mathcal{L}(\mathcal{H}_A \otimes \mathcal{H}_B)$ を定義

(基底 $|e_i\rangle \otimes |f_j\rangle$ の行き先を定めたので行列が定義された)

- 成分では : 行列のテンソル積 = クロネッカー積

$$X = \begin{pmatrix} x_{11} & \cdots & x_{1m} \\ \vdots & & \vdots \\ x_{m1} & \cdots & x_{mm} \end{pmatrix}, \quad Y = \begin{pmatrix} y_{11} & \cdots & y_{1n} \\ \vdots & & \vdots \\ y_{n1} & \cdots & y_{nn} \end{pmatrix}$$

$$X \otimes Y = \begin{pmatrix} x_{11}Y & \cdots & x_{1m}Y \\ \vdots & & \vdots \\ x_{m1}Y & \cdots & x_{mm}Y \end{pmatrix}$$

合成系の状態と測定 (再掲)

n 個の系 $\mathcal{H}_1, \mathcal{H}_2, \dots, \mathcal{H}_n$ の合成系

$\bigotimes_{k=1}^n \mathcal{H}_k$: テンソル積空間

状態: $\rho_n \in \mathcal{S}(\bigotimes_{k=1}^n \mathcal{H}_k)$

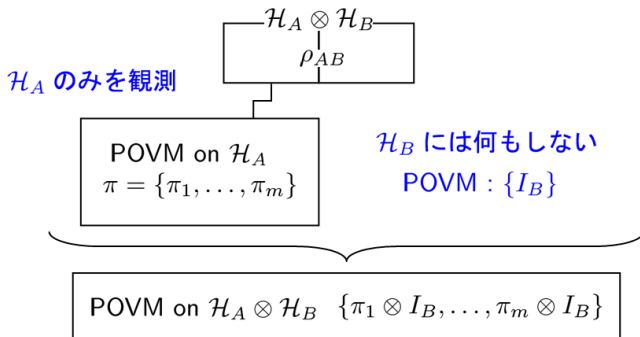
測定: POVM on $\bigotimes_{k=1}^n \mathcal{H}_k$

$$\pi = \{\pi_1, \pi_2, \dots, \pi_m\}$$

$$\pi_i \in \mathcal{L}(\bigotimes_{k=1}^n \mathcal{H}_k), \quad \pi_i = \pi_i^* \geq 0, \quad \sum_{i=1}^m \pi_i = I$$

部分トレース (partial trace) : 周辺分布を求める操作に対応

- 合成系上の密度行列 $\rho_{AB} \in \mathcal{S}(\mathcal{H}_A \otimes \mathcal{H}_B)$ に対して



測定値の従う確率 $\text{Tr}[\rho_{AB}(\pi_i \otimes I_B)] = \text{Tr}[\rho_A \pi_i]$

系 \mathcal{H}_A のみの観測結果を記述 $\leftarrow \rho_A := \text{Tr}_B[\rho_{AB}]$
部分トレース

- $\text{Tr}[\rho_{AB}(X_A \otimes I_B)] = \text{Tr}[\rho_A X_A] (\forall X_A \in \mathcal{L}(\mathcal{H}_A))$ を満たす $\rho_A \in \mathcal{S}(\mathcal{H}_A)$ が一意に存在 (部分トレース)

- 部分トレースの定義 (再掲)

$$\exists! \rho_A \in \mathcal{S}(\mathcal{H}_A), \forall X_A \in \mathcal{L}(\mathcal{H}_A), \text{Tr}[\rho_{AB}(X_A \otimes I_B)] = \text{Tr}[\rho_A X_A]$$

- 計算方法: $I_B = \sum_i |e_i\rangle\langle e_i|$ を用いると

$$\begin{aligned} \text{Tr} \rho_{AB}(X_A \otimes I_B) &= \sum_i \text{Tr} \rho_{AB}(X_A \otimes |e_i\rangle\langle e_i|) \\ &= \sum_i \text{Tr} \rho_{AB}(I_A \otimes |e_i\rangle\langle e_i|)(X_A \otimes 1)(I_A \otimes \langle e_i|) \\ &= \sum_i \text{Tr}(I_A \otimes \langle e_i|) \rho_{AB}(I_A \otimes |e_i\rangle)(X_A \otimes 1) \\ &= \text{Tr} \left\{ \sum_i (I_A \otimes \langle e_i|) \rho_{AB}(I_A \otimes |e_i\rangle) \right\} X_A \\ & \quad [\because X_A \otimes 1 = X_A] \end{aligned}$$

すなわち $\rho_A = \text{Tr}_B \rho_{AB} = \sum_i (I_A \otimes \langle e_i|) \rho_{AB}(I_A \otimes |e_i\rangle)$

(2) 量子通信路

量子通信路 (量子操作, quantum operation)

記法 : $\mathcal{L}(\mathcal{H})$ はヒルベルト空間 \mathcal{H} 上の線形作用素全体

定義 : 量通信路は (1) **線形写像**

$$\mathcal{E} : \mathcal{L}(\mathcal{H}_A) \rightarrow \mathcal{L}(\mathcal{H}_B)$$

で, 次の条件を満たすものとして定義される .

(2) **完全正值性** (complete positivity)

任意の系 \mathcal{H}_R と任意の $X_{RA} \in \mathcal{L}(\mathcal{H}_R \otimes \mathcal{H}_A)$ について

$$X_{RA} \geq 0 \Rightarrow (\mathcal{I}_R \otimes \mathcal{E})(X_{RA}) \geq 0$$

ただし, \mathcal{I}_R は恒等写像である .

(3) **トレース保存条件** (trace preserving condition)

任意の $X \in \mathcal{L}(\mathcal{H}_A)$ に対して $\text{Tr}[\mathcal{E}(X)] = \text{Tr}[X]$

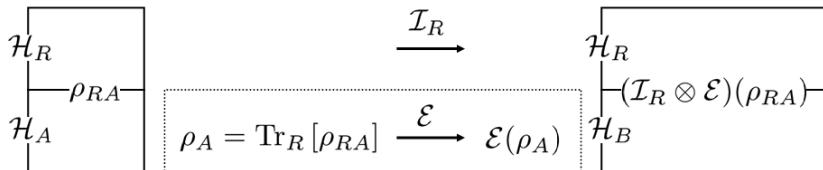
量子通信路の完全正值性について

- 再掲

$\mathcal{E} : \mathcal{S}(\mathcal{H}_A) \longrightarrow \mathcal{S}(\mathcal{H}_B)$ が量子通信路

$$\stackrel{\text{def}}{\iff} \left\{ \begin{array}{l} (1) \text{ 線形性 : } \mathcal{E}(t\rho + (1-t)\sigma) = t\mathcal{E}(\rho) + (1-t)\mathcal{E}(\sigma) \\ (2) \text{ 完全正 : } (\mathcal{I}_R \otimes \mathcal{E})(\rho_{RA}) \geq 0 \\ (3) \text{ トレース保存 : } \text{Tr}[\mathcal{E}(\rho)] = \text{Tr}[\rho] = 1 \end{array} \right.$$

(2) の意味 : 一部の系を操作しても, 密度行列の条件を満足



- 最低限 (1), (2), (3) が成立していないと “どうしようもない” 要請

Theorem (量子通信路の表現)

写像 $\mathcal{E} : \mathcal{L}(\mathcal{H}_A) \rightarrow \mathcal{L}(\mathcal{H}_B)$ について以下は同値 .

(1) \mathcal{E} は量子通信路である .

(2) クラウス表現 (Kraus representation)

線形作用素 $E_i : \mathcal{H}_A \rightarrow \mathcal{H}_B$ の組 $\{E_i\}$ で $\sum_i E_i^* E_i = I_A$ を満たすものが存在して

$$\mathcal{E}(\rho) = \sum_i E_i \rho E_i^*$$

(3) シュタインスプリング表現 (Stinespring representation)

あるヒルベルト空間 \mathcal{H}_E (環境系, environment system) と等距離作用素 (isometry) $V : \mathcal{H}_A \rightarrow \mathcal{H}_B \otimes \mathcal{H}_E$ が存在して

$$\mathcal{E}(\rho) = \text{Tr}_E[V \rho V^*]$$

シュタインスプリング表現と物理的実現

- $V : \mathcal{K} \rightarrow \mathcal{H}$ が等距離作用素 (isometry) $\stackrel{\text{def}}{\iff} V^*V = I_{\mathcal{K}}$
- \mathcal{K} の \mathcal{H} への “埋め込み方法”
- このとき, VV^* は \mathcal{H} の部分空間 $\text{Im } V$ への射影子
- 全写であればユニタリ作用素

● シュタインスプリング表現

あるヒルベルト空間 \mathcal{H}_E (環境系, environment system) と等距離作用素 (isometry) $V : \mathcal{H}_A \rightarrow \mathcal{H}_B \otimes \mathcal{H}_E$ が存在して

$$\mathcal{E}(\rho) = \text{Tr}_E[V\rho V^*]$$

- V は $\mathcal{H}_A \otimes \mathcal{H}_B \otimes \mathcal{H}_E$ 上のユニタリ作用素 U に拡張できて, 環境系の初期状態 $\rho_{0,E} \in \mathcal{S}(\mathcal{H}_E)$, 出力系の初期状態 $\rho_{0,B} \in \mathcal{S}(\mathcal{H}_B)$ (どちらも純粋状態) を用いて, 以下のように表される

$$\mathcal{E}(\rho) = \text{Tr}_{AE}[U(\rho \otimes \rho_{0,E} \otimes \rho_{0,B})U^*]$$

- 量子通信路は量子力学の許す範囲で物理的実現が可能

- isometry $V : \mathcal{H}_A \rightarrow \mathcal{H}_B \otimes \mathcal{H}_E$ は次式で書ける .
 - $\sum_k E_k^* E_k = I_A$ を満たす作用素の組 $E_k : \mathcal{H}_A \rightarrow \mathcal{H}_B$
 - \mathcal{H}_E の正規直交基底 $\{|f_k\rangle\}_k$

$$V : |\psi\rangle \in \mathcal{H}_A \mapsto \sum_k |\psi_k\rangle \otimes |f_k\rangle = \sum_k E_k |\psi\rangle \otimes |f_k\rangle \in \mathcal{H}_B \otimes \mathcal{H}_E$$

- すなわち , $V = \sum_k E_k \otimes |f_k\rangle$ だから

$$V \rho V^* = \sum_{k,l} E_k \rho E_l^* \otimes |f_k\rangle \langle f_l|$$

- この部分トレースをとることで Kraus 表現が得られる

$$\mathcal{E}(\rho) = \text{Tr}_E[V \rho V^*] = \sum_k E_k \rho E_k^*$$

- どちらも Stinespring-Kraus 表現と呼ばれることがある

量子通信路の例：二準位系 \mathbb{C}^2 上のユニタリ変換

- 標準基底： $|0\rangle = \begin{pmatrix} 1 \\ 0 \end{pmatrix}$, $|1\rangle = \begin{pmatrix} 0 \\ 1 \end{pmatrix}$
- Pauli 行列

$$X = \begin{pmatrix} 0 & 1 \\ 1 & 0 \end{pmatrix}, Y = \begin{pmatrix} 0 & -i \\ i & 0 \end{pmatrix}, Z = \begin{pmatrix} 1 & 0 \\ 0 & -1 \end{pmatrix}$$

- X, Y, Z はエルミートかつユニタリ
- $X^2 = I, Y^2 = I, Z^2 = I$
- Pauli 行列の交換関係

$$XZ = \begin{pmatrix} 0 & -1 \\ 1 & 0 \end{pmatrix} = -ZX = -iY \quad (Y = iXZ)$$

- **bit flip** : $X|0\rangle = |1\rangle, X|1\rangle = |0\rangle$
- **phase flip** : $Z|0\rangle = |0\rangle, Z|1\rangle = -|1\rangle$

量子通信路の例：Pauli 通信路

- Pauli 通信路

$$\mathcal{E} : \rho \in \mathcal{S}(\mathbb{C}^2) \mapsto \mathcal{E}(\rho) = p_0\rho + p_1X\rho X^* + p_2Y\rho Y^* + p_3Z\rho Z^* \in \mathcal{S}(\mathbb{C}^2)$$

(p_0, p_1, p_2, p_3) は確率ベクトル

- I (エラーなし), X (bit flip), Y, Z (phase flip) の確率的な凸結合
- $Y\rho Y^* = XZ\rho Z^*X^*$ に注意
- Y に対応するエラー = phase flip + bit flip
- $XZ = -ZX$ なので上記の順番は関係ない

(3) 量子誤り訂正

量子誤り訂正符号の例

- \mathbb{C}^2 上の任意の量子状態: $\psi = \alpha|0\rangle + \beta|1\rangle$ ($\alpha, \beta \in \mathbb{C}, |\alpha|^2 + |\beta|^2 = 1$)
- $|\Psi\rangle = \alpha|000\rangle + \beta|111\rangle \in (\mathbb{C}^2)^{\otimes 3}$ に符号化
- この符号化は次の等距離作用素 $V: \mathbb{C}^2 \rightarrow (\mathbb{C}^2)^{\otimes 3}$ を考えている

$$V: \mathbb{C}^2 \xrightarrow{\text{isometry}} \mathcal{C} := \text{span}\{|000\rangle, |111\rangle\} \subset (\mathbb{C}^2)^{\otimes 3}$$

$(\mathbb{C}^2)^{\otimes 3}$ の部分空間 \mathcal{C} を符号という

- エラー: 二番目に bit flip が起きたとする

$$|\Psi\rangle = \alpha|010\rangle + \beta|101\rangle \in (\mathbb{C}^2)^{\otimes 3}$$

- 復号: 以下の測定 $P = \{P_0, P_1, P_2, P_3\}$ を行う

$$P_0 = |000\rangle\langle 000| + |111\rangle\langle 111| \quad (\text{span}\{|000\rangle, |111\rangle\} \text{ への射影子})$$

$$P_1 = |100\rangle\langle 100| + |011\rangle\langle 011| \quad (\text{span}\{|100\rangle, |011\rangle\} \text{ への射影子})$$

$$P_2 = |010\rangle\langle 010| + |101\rangle\langle 101| \quad (\text{span}\{|010\rangle, |101\rangle\} \text{ への射影子})$$

$$P_3 = |001\rangle\langle 001| + |110\rangle\langle 110| \quad (\text{span}\{|001\rangle, |110\rangle\} \text{ への射影子})$$

- 測定値 2 が得られるので, 2 番目を bit flip することで訂正可能

- 量子通信路 $\mathcal{E} : \mathcal{S}(\mathcal{H}_A) \rightarrow \mathcal{S}(\mathcal{H}_B)$ が与えられたとき, \mathcal{H}_A の線形部分空間 \mathcal{C} (符号とよぶ) に限って純粋状態を訂正可能なようにする

$$\mathcal{H} \xrightarrow{V: \text{符号化}} \mathcal{C} \subset \mathcal{H}_A \xrightarrow{\mathcal{E}: \text{エラー}} \mathcal{H}_B \xrightarrow{\mathcal{R}: \text{復号}} \mathcal{H}$$

- 正確には, $\mathcal{S}(\mathcal{H}) \xrightarrow{\text{符号化}} \mathcal{S}(\mathcal{C}) \subset \mathcal{S}(\mathcal{H}_A) \xrightarrow{\mathcal{E}: \text{エラー}} \mathcal{S}(\mathcal{H}_B) \xrightarrow{\mathcal{R}: \text{復号}} \mathcal{S}(\mathcal{H})$
- 符号化は等距離作用素 $V : \mathcal{H} \rightarrow \mathcal{C} \subset \mathcal{H}_A$ により以下で行う

$$\rho = |\psi\rangle\langle\psi| \in \mathcal{S}(\mathcal{H}) \xrightarrow{\text{符号化}} V |\psi\rangle\langle\psi| V^* \in \mathcal{S}(\mathcal{C}) \subset \mathcal{S}(\mathcal{H}_A)$$

- 等距離作用素 = “埋め込み” (\mathcal{H} と \mathcal{C} を同一視)
- 復号操作 \mathcal{R} も量子通信路 (量子操作)

Remark

- $\mathcal{S}(\mathcal{H})$ は凸集合で端点は純粋状態全体である
- \mathcal{H} の純粋状態がすべて復号可能 $\iff \mathcal{S}(\mathcal{H})$ の元すべてが復号可能

Knill-Laflamme の定理

- 以下では \mathcal{H} と \mathcal{C} を同一視する

Kraus 表現 $\mathcal{E}(\rho) = \sum_k E_k \rho E_k^*$ で与えられる **量子通信路**

$\mathcal{E} : \mathcal{S}(\mathcal{H}_A) \rightarrow \mathcal{S}(\mathcal{H}_B)$ と \mathcal{H}_A の **部分空間** $\mathcal{C} \subset \mathcal{H}_A$ について以下は同値

(1) (復号可能) 逆向きの量子操作 $\mathcal{R} : \mathcal{S}(\mathcal{H}_B) \rightarrow \mathcal{S}(\mathcal{H}_A)$ が存在して

$$\forall \rho \in \mathcal{S}(\mathcal{C}), \mathcal{R} \circ \mathcal{E}(\rho) = \rho \quad (\text{部分空間 } \mathcal{C} \text{ 上の量子状態は元にもどる})$$

(2) エルミート行列 $\alpha = [\alpha_k]$ が存在して

$$PE_l^* E_k P = \alpha_{lk} P \quad (P \text{ は } \mathcal{C} \text{ への射影子})$$

- Stinespring 表現 $\mathcal{E}(\rho) = \text{Tr}_E V \rho V^*$ より

$$\mathcal{F}(\rho) := \text{Tr}_B V \rho V^*, \quad \mathcal{F} : \mathcal{S}(\mathcal{H}_A) \rightarrow \mathcal{S}(\mathcal{H}_E)$$

を定義する (補通信路, complementary channel)

- Stinespring 表現と Kraus 表現の関係により

$$V \rho V^* = \sum_{k,l} E_k \rho E_l^* \otimes |e_k\rangle \langle e_l|$$

$$\therefore \mathcal{F}(\rho) = \text{Tr}_B V \rho V^* = \sum_{k,l} \text{Tr}[\rho E_l^* E_k] \cdot |e_k\rangle \langle e_l|$$

- $\rho \in \mathcal{S}(\mathcal{C}) \Leftrightarrow \rho = P \rho P$ (P は \mathcal{C} への射影子, \mathcal{C} では単位行列) なので

$$\mathcal{F}(\rho) = \sum_{k,l} \text{Tr}[\rho E_l^* E_k] \cdot |e_k\rangle \langle e_l| = \sum_{k,l} \text{Tr}[P \rho P E_l^* E_k] \cdot |e_k\rangle \langle e_l|$$

$$= \sum_{k,l} \text{Tr}[\rho P E_l^* E_k P] \cdot |e_k\rangle \langle e_l| = \sum_{k,l} \alpha_{lk} \cdot |e_k\rangle \langle e_l|$$

- (1) \Leftrightarrow (2) \Leftrightarrow “ $\mathcal{F}(\rho)$ が $\rho \in \mathcal{S}(\mathcal{C})$ によらない” (環境系で invisible)

Theorem

Kraus 表現 $\mathcal{E}(\rho) = \sum_k E_k \rho E_k^*$ で与えられる量子通信路 $\mathcal{E} : \mathcal{S}(\mathcal{H}_A) \rightarrow \mathcal{S}(\mathcal{H}_B)$ が部分空間 \mathcal{C} について復号可能であるとき, $E'_m = \sum_k c_{km} E_k$ を満たす $\{E'_m\}$ によって与えられる Kraus 表現

$$\mathcal{E}'(\rho) = \sum_{m,n} E'_m \rho E_n'^*$$

を持つ量子通信路も復号可能

$$\therefore P E_n'^* E'_m P = \sum_{k,l} c_{ln}^* c_{km} P E_l^* E_k P = \sum_{k,l} c_{ln}^* c_{km} \alpha_{lk} P = \alpha'_{nm} P$$

- 実は \mathcal{E} と同じ復号方法で \mathcal{E}' が復号できる
- 有限次元系でも量子通信路は連続的に無数存在
- 復号操作を有限個に限ることができる

(4) CSS (Calderbank-Shor-Steane) 符号

古典的な線形符号 : $GF(2)^n = \mathbb{Z}_2^n$ における線形符号

- 符号 C とは \mathbb{Z}_2^n の線形部分空間 : $C \subset \mathbb{Z}_2^n$
- C の基底を並べることで生成行列 G ($n \times k$) が作られる :

$$C = \left\{ Gu \mid u \in \mathbb{Z}_2^k \right\}$$

- $[n, k]$ 線形符号 : k ビットの情報ビットを n ビットの符号に変換
- C のパリティ検査行列 H ($(n - k) \times n$)

$$C = \ker H = \{x \in \mathbb{Z}_2^n \mid Hx = 0\}$$

- 符号語間の最小距離と誤り訂正能力

$$d = \min_{x, y \in C} \text{weight}(x - y)$$

$2d + 1 \geq t$ ならば t ビットの誤りを訂正可能

- 双対符号 (dual code)

$$C^\perp := \{x \in \mathbb{Z}_2^n \mid \forall y \in C, x \cdot y = 0\}$$

CSS (Calderbank-Shor-Steane) 符号の構成

元になる古典的な $GF(2)^n = \mathbb{Z}_2^n$ 上の線形符号

- $C_1 : [n, k_1]$ 線形符号, $C_2 : [n, k_2]$ 線形符号
- $C_2 \subset C_1$ (加法について部分群), C_1 と C_2^\perp は t -誤り訂正符号

加法の部分群 $C_2 \subset C_1$ による同値類

- $x, y \in C_1$ について $x \sim y \stackrel{\text{def}}{\iff} x - y \in C_2$
- 同値類による類別

$$C_1 = \bigcup_{x: \text{同値類の代表元}} x + C_2$$

- 同値類の数: $\frac{|C_1|}{|C_2|} = 2^{k_1 - k_2}$

CSS 符号: $[n, k_1 - k_2]$ 量子符号, t -誤り訂正符号

$$|x + C_2\rangle := \frac{1}{\sqrt{|C_2|}} \sum_{y \in C_2} |x + y\rangle \in (\mathbb{C}^2)^{\otimes n}$$

代表元の取り方に依存しない

CSS 符号の性質

CSS 符号は代表元の取り方に依存しない： $x' \sim x$ ($x' - x \in C_2$) のとき

$$\begin{aligned} |x' + C_2\rangle &= \frac{1}{\sqrt{|C_2|}} \sum_{y \in C_2} |x' + y\rangle = \frac{1}{\sqrt{|C_2|}} \sum_{y \in C_2} |x + (x' - x) + y\rangle \\ &= \frac{1}{\sqrt{|C_2|}} \sum_{y' \in C_2} |x + y'\rangle = |x + C_2\rangle \end{aligned}$$

[$\because y' = (x' - x) + y$ とおくと, y' は C_2 のすべての元をわたるので]
異なる同値類については直交する： $x' \not\sim x$ ($x' - x \notin C_2$) のとき

$$x + C_2 \cap x' + C_2 = \emptyset$$

だから, 任意の $y, y' \in C_2$ について $|x + y\rangle$ と $|x' + y'\rangle$ は直交
よって, 以下の二つのベクトルは直交

$$|x + C_2\rangle = \frac{1}{\sqrt{|C_2|}} \sum_{y \in C_2} |x + y\rangle, \quad |x' + C_2\rangle = \frac{1}{\sqrt{|C_2|}} \sum_{y' \in C_2} |x' + y'\rangle$$

CSS 符号における量子誤り訂正

誤りに対する仮定

- エラーベクトル $e_1 \in \mathbb{Z}_2^n$ に相当する箇所で bit flip
- エラーベクトル $e_2 \in \mathbb{Z}_2^n$ に相当する箇所で phase flip
- $XZ = -ZX$ より, bit flip と phase flip の順番は無視できる

$$\begin{aligned} |x + C_2\rangle &\xrightarrow{e_2: \text{phase flip}} \frac{1}{\sqrt{|C_2|}} \sum_{y \in C_2} (-1)^{(x+y) \cdot e_2} |x + y\rangle \\ &\xrightarrow{e_1: \text{bit flip}} \frac{1}{\sqrt{|C_2|}} \sum_{y \in C_2} (-1)^{(x+y) \cdot e_2} |x + y + e_1\rangle \end{aligned}$$

CSS 符号 : bit flip の訂正

- (1) 作業用の量子状態を付加

$$\frac{1}{\sqrt{|C_2|}} \sum_{y \in C_2} (-1)^{(x+y) \cdot e_2} |x + y + e_1\rangle \otimes |0\rangle$$

- (2) C_1 のパリティ検査行列 H_1 によりユニタリ変換

$$\frac{1}{\sqrt{|C_2|}} \sum_{y \in C_2} (-1)^{(x+y) \cdot e_2} |x + y + e_1\rangle \otimes |H_1 e_1\rangle$$

- (3) シンドロームの測定 : 作業用の量子状態を測定して $H_1 e_1$ が分かる
(4) $H_1 e_1$ から C_1 の古典的誤り訂正能力により, e_1 が分かる
(5) 作業用の量子状態を捨てて, エラーベクトル e_1 の箇所を bit flip

$$\frac{1}{\sqrt{|C_2|}} \sum_{y \in C_2} (-1)^{(x+y) \cdot e_2} |x + y\rangle$$

(phase flip 訂正の前に) アダマール変換について

- \mathbb{C}^2 上のアダマール変換: $H = \frac{1}{\sqrt{2}} \begin{pmatrix} 1 & 1 \\ 1 & -1 \end{pmatrix}$ ($H^{-1} = H$ に注意)
- H の作用

$$|0\rangle = \begin{pmatrix} 1 \\ 0 \end{pmatrix} \xrightarrow{H} \frac{1}{\sqrt{2}} \begin{pmatrix} 1 \\ 1 \end{pmatrix} = \frac{|0\rangle + |1\rangle}{\sqrt{2}} = |+\rangle$$

$$|1\rangle = \begin{pmatrix} 0 \\ 1 \end{pmatrix} \xrightarrow{H} \frac{1}{\sqrt{2}} \begin{pmatrix} 1 \\ -1 \end{pmatrix} = \frac{|0\rangle - |1\rangle}{\sqrt{2}} = |-\rangle$$

- まとめて書くと

$$H|x\rangle = \frac{1}{\sqrt{2}} \sum_{z \in \mathbb{Z}_2} (-1)^{xz} |z\rangle \quad (x \in \mathbb{Z}_2)$$

- $(\mathbb{C}^2)^{\otimes n}$ 上の拡大アダマール変換

$$H^{\otimes n} |x\rangle = \frac{1}{\sqrt{2^n}} \sum_{z \in \mathbb{Z}_2^n} (-1)^{x \cdot z} |z\rangle \quad (x \in \mathbb{Z}_2^n)$$

CSS 符号 : phase flip の訂正

bit flip 訂正後の状態ベクトル

$$(*) \quad \frac{1}{\sqrt{|C_2|}} \sum_{y \in C_2} (-1)^{(x+y) \cdot e_2} |x+y\rangle \rightarrow e_2 = \text{“0 ベクトル” としたい}$$

(1) 拡大アダマール変換を行う

$$\begin{aligned} & \frac{1}{\sqrt{|C_2|}} \sum_{y \in C_2} (-1)^{(x+y) \cdot e_2} \frac{1}{\sqrt{2^n}} \sum_{z \in \mathbb{Z}_2^n} (-1)^{(x+y) \cdot z} |z\rangle \\ &= \frac{1}{\sqrt{2^n |C_2|}} \sum_{y \in C_2} \sum_{z \in \mathbb{Z}_2^n} (-1)^{(x+y) \cdot (e_2+z)} |z\rangle \\ &= \frac{1}{\sqrt{2^n |C_2|}} \sum_{z' \in \mathbb{Z}_2^n} \sum_{y \in C_2} (-1)^{(x+y) \cdot z'} |z' + e_2\rangle \\ & \quad [\text{和を交換, } z' := z + e_2 \rightarrow z = z' - e_2 = z' + e_2] \end{aligned}$$

C_2 に関する補題

$$\sum_{y \in C_2} (-1)^{y \cdot z'} = \begin{cases} |C_2| & (z' \in C_2^\perp) \\ 0 & (z' \notin C_2^\perp) \end{cases}$$

- $z' \in C_2^\perp$ のとき : $y \cdot z' = 0$ ($\forall y \in C_2$) より明らか
- $z' \notin C_2^\perp$ のとき :

$$f : y \in C_2 \subset \mathbb{Z}_2^n \mapsto y \cdot z' \in \mathbb{Z}_2 = \{0, 1\}$$

の核 $\ker f = \{y \in C_2 \mid y \cdot z' = 0\}$ を考える . $\ker f$ は加法群 C_2 の部分群であるから , 同値類による類別を考えると

$$\#\{y \in C_2 \mid y \cdot z' = 0\} = \#\{y \in C_2 \mid y \cdot z' = 1\}$$

上記の和で 1 と -1 は同じ数だけ現れる

CSS 符号 : phase flip の訂正 (つづき)

$$\begin{aligned} & \frac{1}{\sqrt{2^n |C_2|}} \sum_{z' \in \mathbb{Z}_2^n} \sum_{y \in C_2} (-1)^{(x+y) \cdot z'} |z' + e_2\rangle \\ &= \frac{1}{\sqrt{2^n |C_2|}} \sum_{z' \in \mathbb{Z}_2^n} (-1)^{x \cdot z'} \left\{ \sum_{y \in C_2} (-1)^{y \cdot z'} \right\} |z' + e_2\rangle \\ &= \frac{1}{\sqrt{2^n / |C_2|}} \sum_{z' \in C_2^\perp} (-1)^{x \cdot z'} |z' + e_2\rangle \quad [\because \text{補題}] \end{aligned}$$

(2) bit flip 訂正と同様の手続きで, C_2^\perp の誤り訂正能力により以下を得る

$$\frac{1}{\sqrt{2^n / |C_2|}} \sum_{z' \in C_2^\perp} (-1)^{x \cdot z'} |z'\rangle$$

(3) 拡大アダマール変換を再び行う :

$H^{-1} = H$ に注意すると (*) で $e_2 = 0$ としたものに帰る

参考文献

- M. Nielsen and I. Chuang, Quantum Computation and Quantum Information, Cambridge, 2000.
- 林正人, 量子情報理論入門, サイエンス社, 2004.
- M. Hayashi, Quantum Information: An Introduction, Springer, 2006.
(上記の英訳 + 内容大幅増)

(5) 量子秘密分散法

量子通信路の可逆性, 消失性

○ 量子誤り訂正, 量子暗号などで重要

○ \mathcal{E} が $\mathcal{S} \subseteq \mathcal{S}(\mathcal{H}_A)$ について可逆 (逆向き通信路で復元できる)

$$\stackrel{\text{def}}{\iff} \exists \mathcal{R}, \forall \rho_A \in \mathcal{S}, \mathcal{R}\mathcal{E}(\rho_A) = \rho_A$$

$$\forall \rho_A \in \mathcal{S} = \boxed{\mathcal{E}} \Rightarrow \mathcal{E}(\rho_A) = \boxed{\mathcal{R}} \Rightarrow \mathcal{R}\mathcal{E}(\rho_A) = \rho_A$$

○ \mathcal{E} が $\mathcal{S} \subseteq \mathcal{S}(\mathcal{H}_A)$ について消失的 (完全秘匿条件)

$$\stackrel{\text{def}}{\iff} \exists \rho_0 \in \mathcal{S}(\mathcal{H}_B), \forall \rho_A \in \mathcal{S}, \mathcal{E}(\rho_A) = \rho_0$$

$$\forall \rho_A \in \mathcal{S} = \boxed{\mathcal{E}} \Rightarrow \mathcal{E}(\rho_A) = \rho_0$$

(入力を変化 \implies 出力が同じ)

Holevo 量子相互情報量

Holevo, 1973

○ $\mathcal{E} : \mathcal{S}(\mathcal{H}_A) \rightarrow \mathcal{S}(\mathcal{H}_B)$ 量子通信路

○ $\mathcal{P}_+(\mathcal{S}) : \mathcal{S} \subseteq \mathcal{S}(\mathcal{H}_A)$ 上至るところ正の確率測度全体

○ $\mu \in \mathcal{P}_+(\mathcal{S})$ についての平均 $E_\mu[\cdot] := \int_{\mathcal{S}} \cdot \mu(d\rho)$

○ Holevo 情報量

$$I(\mu; \mathcal{E}) := E_\mu[D(\mathcal{E}(\rho) || \mathcal{E}(\sigma_\mu))]$$

$\rho \sim \mu$
 $\sigma_\mu := E_\mu[\rho]$

特に, $I(\mu; \mathcal{I}_A) = E_\mu[D(\rho || \sigma_\mu)]$



小さくなる
(単調性)

Holevo 情報量と可逆性, 消失性

Ogawa, Sasaki, Iwamoto, Yamamoto, 2004

定理 : それぞれ (a), (b), (c) は同値

(1) [Holevo 情報量が不変 \iff 可逆]

(a) \mathcal{E} は $\mathcal{S} \subseteq \mathcal{S}(\mathcal{H}_A)$ について可逆

(b) $\forall \mu \in \mathcal{P}_+(\mathcal{S}), I(\mu; \mathcal{E}) = I(\mu, \mathcal{I}_A)$

(c) $\exists \mu \in \mathcal{P}_+(\mathcal{S}), I(\mu; \mathcal{E}) = I(\mu, \mathcal{I}_A)$

(2) [Holevo 情報量がゼロ \iff 消失的]

(a) \mathcal{E} は $\mathcal{S} \subseteq \mathcal{S}(\mathcal{H}_A)$ について消失的

(b) $\forall \mu \in \mathcal{P}_+(\mathcal{S}), I(\mu; \mathcal{E}) = 0$

(c) $\exists \mu \in \mathcal{P}_+(\mathcal{S}), I(\mu; \mathcal{E}) = 0$

応用例：量子秘密分散法

$$\rho_A \in \mathcal{S}(\mathcal{H}_A)$$

\Downarrow W_N : 分散符号化 (量子通信路)

$$\mathcal{H}_N = \mathcal{H}_1 \otimes \mathcal{H}_2 \otimes \cdots \otimes \mathcal{H}_n$$
$$W_N(\rho_A)$$

全体

$$N := \{1, \dots, n\}$$

$$\mathcal{H}_X = \bigotimes_{i \in X} \mathcal{H}_i$$
$$W_X(\rho_A) := \text{Tr}_{N \setminus X} W_N(\rho_A)$$

一部を取り出す

$$X \subseteq N$$

○ X で ρ_A が復元可能 $\iff W_X$ が $\mathcal{S}(\mathcal{H}_A)$ について可逆
 X は有資格集合と呼ぶ

○ X で ρ_A が全く分からない $\iff W_X$ が $\mathcal{S}(\mathcal{H}_A)$ について消失的
 X は禁止集合と呼ぶ

有資格条件と禁止条件

$\mathcal{S}_1(\mathcal{H})$: 純粋状態全体

$$\begin{array}{ccc} \rho \sim \mu \in \mathcal{P}_+(\mathcal{S}_1(\mathcal{H})) & \begin{array}{c} \boxed{W_X} \\ \leftarrow \quad \rightarrow \end{array} & W_X(\rho) \\ \sigma_\mu = \mathbb{E}_\mu[\rho] & & W_X(\sigma_\mu) \end{array}$$

Holevo 情報量

$$I(\mu; \mathcal{I}) = H(\sigma_\mu) - \mathbb{E}_\mu[H(\rho)] \quad I(\mu; W_X)$$

0 for pure state

定理

以下の条件はそれぞれ同値

1. X は有資格集合 (resp. 禁止集合)
2. $\forall \mu \in \mathcal{P}_+(\mathcal{S}_1(\mathcal{H})), I(\mu; W_X) = H(\sigma_\mu)$ (resp. $= 0$)
3. $\exists \mu \in \mathcal{P}_+(\mathcal{S}_1(\mathcal{H})), I(\mu; W_X) = H(\sigma_\mu)$ (resp. $= 0$)

量子秘密分散法の符号化効率限界

Ogawa et al., 2004

○ von Neumann エントロピー $H(\sigma) := -\text{Tr}[\rho \log \rho]$

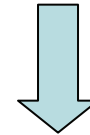
定理： 任意の (意味のある) 部分集合 $X \subseteq N$ について

Holevo情報量不変性の帰結

pure state 全体

$$\forall \mu \in \mathcal{P}_+(\mathcal{S}_1(\mathcal{H}_A)), \quad H(\sigma_\mu) \leq H(W_X(\sigma_\mu))$$

μ : pure state 全体 $\mathcal{S}_1(\mathcal{H}_A)$ 上の一様分布とする



系 (Gottesman, 2000)

任意の (意味のある) 物理系 $i \in N$ について

$$\dim \mathcal{H}_A \leq \dim \mathcal{H}_i$$

オリジナルの系より小さくできない